

# Модель и методика маскирования адресации корреспондентов в сети передачи данных ведомственного назначения

В. В. Кучуров, email: kuchurovv@yandex.ru  
Р. С. Шерстобитов, email: scherstobitov.rs@yandex.ru

Краснодарское высшее военное училище  
им. генерала армии С.М. Штеменко

**Аннотация.** Для выполнения требований по защите информации предписанных регуляторами, возникает необходимость по противодействию угрозам безопасности информации, нацеленным на вскрытие структурно-функциональных характеристик информационной системы (ИС). Такая стратегия защиты может быть реализована посредством маскирования адресации корреспондентов и осуществления маскирующего обмена между топологически локализованными элементами (сегментами) СПД ВН.

**Ключевые слова:** moving target defense, компьютерная разведка, информационные направления, маскирование сетевых адресов, марковские процессы, маскирующий обмен.

## Введение

Как правило, каждая локализованная (топологически) ИС функционирует в интересах конкретного органа управления, являющегося элементом иерархичной системы управления [1].

В ведомственных ИС кибербезопасность и защита киберпространства реализуется как набор мер и рекомендаций ФСТЭК. В значимых ИС объектами, подлежащими защите от угроз безопасности информации, являются архитектура и конфигурация ИС (равно как и архитектура и конфигурация информационно-телекоммуникационной сети, АСУ).

По результатам анализа защищенности должно быть подтверждено, что в ИС отсутствуют уязвимости, способствующие возможности реконструкции (вскрытия) нарушителем архитектура и конфигурация ИС. [3].

## Формализованная постановка задачи на моделирование оценки эффективности маскирующего обмена

Стратегия защиты при реализации маскирующего обмена должна заключаться в оптимальном распределении ресурса СПД ВН для обеспечения своевременности информационного обмена (доставки сообщений) с учетом приоритетов корреспондентов (видов трафика). При этом производительность СИО и предельная скорость передачи данных в СПД (пропускная способность каналов связи) выступают в качестве очевидных ограничений [4].

Своевременность информационного обмена  $K_{IE}$  (от англ. (information) exchange – обмен) определяют [8] через показатели своевременности обработки  $K_{Proc}$  (от англ. processing – обработка) и своевременности доставки  $K_{Del}$  (от англ. delivery – доставка) следующими соотношениями:

$$K_{Proc} = P(T_{Proc} \leq T_{Proc}^{Req}) \quad (1)$$

$$K_{Del} = P(T_{Del} \leq T_{Del}^{Req}) \quad (2)$$

$$K_{IE} = K_{Del} \cdot K_{Proc} \quad (3)$$

Время обработки  $T_{Proc}$  и время доставки  $T_{Del}$  являются контекстно-зависимыми величинами, то есть требуют достаточно точно определять состав канала (каналов) связи СПД ВН, конкретизировать функции СИО и процессов обработки (доставки) относительно уровней ЭМВОС.

Тогда коэффициент эффективности маскирующего обмена в  $i$ -ом информационном направлении:

$$K_i^{Ef} = \frac{\bar{T}_{IE}^{AT} - \bar{T}_{IE}^{CT}}{\bar{T}_{IE}^{AT}} \quad (4)$$

где  $\bar{T}_{IE}^{AT}$  – среднее время информационного обмена общим трафиком (КПС и МПС);  $\bar{T}_{IE}^{CT}$  – среднее время информационного обмена конструктивным трафиком при ограничении МПС узлами-терминаторами.

Моменты возможных переходов СПД из состояния в состояние неопределенны и случайны. Рассмотрим переход от детерминированной постановки задачи к постановке задачи в условиях неопределенности. Тогда финальную вероятность того или иного состояния  $s_i$ , СПД ВН

можно будет интерпретировать как среднее относительное время пребывания системы в этом состоянии.

Тогда содержательная постановка задачи на моделирование оценки эффективности маскирующего обмена в СПД при маскировании адресации корреспондентов в киберпространстве: разработать модель  $\mu$  СПД  $S$ , устанавливающую закономерность изменения множества  $P_i$  выходных параметров модели функционирования СПД и множества  $Q$  показателей эффективности функционирования СПД от множества  $CP$  значений входных параметров, множества  $Z$  значений внутренних параметров, множества  $SIT$  значений параметров условий функционирования. На значения параметров множеств  $CP$ ,  $P_i$ ,  $Z$ ,  $SIT$  наложены условия их допустимости.

Тогда формальная постановка задачи на моделирование оценки эффективности маскирующего обмена в СПД при маскировании адресации корреспондентов в киберпространстве:

$$\begin{aligned} \mu : \langle S, CP, Z, SIT \rangle &\rightarrow P_i, \\ Q \Big| CP &\subseteq \{N_T, I^{AT}, I^{CT}, I^{MT}\}, \\ P_i &= \lim_{t \rightarrow \infty} P_i(t), SIT \subseteq \{I^{OT}, I^{FT}\} \end{aligned} \quad (5)$$

а формальная постановка задачи на оптимизацию показателей эффективности маскируемой СПД (по критерию максимизации своевременности информационного обмена):

$$\langle S, CP, Z, SIT \rangle \rightarrow \max P^{K^*}(t) \mid P^{K^*} \in \{P_i\}, i = 1, 2, \dots, h \quad (6)$$

### **Модель оценки эффективности маскирующего обмена в сети передачи данных ведомственного назначения**

Пусть имеется СПД ВН  $S$ , в которой реализуют маскирование адресации корреспондентов и осуществление маскирующего обмена между топологически локализованными элементами (сегментами) распределенной ИС. [5]

От передающих абонентов в СПД ВН и далее в ССОП поступает поток событий (заявок, требований) с интенсивностью  $\lambda$ , потенциально переводящих модель  $\mu$  СПД  $S$  в состояния, когда обеспечивается или не обеспечивается своевременность информационного обмена.

Примем следующие необходимые для исследования дискретные состояния  $s_1, s_2, \dots$  моделируемого процесса, где:  $s_1$  – формирование КПС,  $s_2$  – формирование МПС,  $s_3$  – изменение текущих IP-адресов элемента СПД (расширение его адресного пространства),  $s_4$  – передача

КПС и МПС от отправителя к получателю,  $s_5$  – терминация МПС на транзитном СИО СПД в ССОП,  $s_6$  – своевременный прием КПС,  $s_7$  – несвоевременный прием КПС.

Моменты возможных переходов моделируемой СПД при реализации маскирующего обмена из состояния в состояние неопределенны, случайны и происходят под действием событий, характеризующиеся их интенсивностями  $\lambda$  (см. табл. 2).

Таблица 1

*Интенсивности потоков событий*

<b>Интенсивность</b>	<b>Обозначение</b>
Заявки на прерывание формирования МПС в связи с формированием КПС	$\lambda_{12}$
Заявки на изменение текущих IP-адресов (расширение адресного пространства) КПС	$\lambda_{13}$
Заявки на изменение текущих IP-адресов (расширение адресного пространства) МПС	$\lambda_{23}$
Заявки на передачу КПС получателю без расширения адресного пространства (КПС и МПС используют один адрес отправителя)	$\lambda_{14}$
Заявки на передачу МПС получателю без расширения адресного пространства (КПС и МПС используют один адрес отправителя)	$\lambda_{24}$
Заявки на передачу КПС и МПС получателю с расширением адресного пространства (КПС и МПС используют множество адресов отправителя)	$\lambda_{34}$
Заявки на терминацию МПС на узле-терминаторе	$\lambda_{45}$
Заявки на безусловное обслуживание КПС у получателя	$\lambda_{46}$
Заявки на совместное с МПС обслуживание КПС у получателя	$\lambda_{47}$
Заявки на совместное с КПС обслуживание МПС у получателя, вызванные отказом терминации (узла-терминатора)	$\lambda_{57}$
Квитирование, заявки на увеличение скорости передачи данных КПС вследствие своевременного приема КПС	$\lambda_{61}$
Заявки на уменьшение скорости передачи данных МПС вследствие отказа терминации, возникновения очередей из КПС и МПС у получателя	$\lambda_{72}$

Оценка эффективности процессов функционирования СПД ВН и маскирования адресации корреспондентов связана с необходимостью моделирования процесса в реальном времени, что обуславливает целесообразность использования математического аппарата марковских процессов. Таким образом, процессы маскирования адресации корреспондентов при реализации маскирующего обмена можно представить, как марковский случайный процесс с дискретными состояниями и непрерывным временем.

На рис. 1 представлен граф состояний моделируемой системы. Рассмотрим сценарий перехода моделируемой системы из состояния  $s_i$  в состояние  $s_j$  под воздействием потоков событий с интенсивностями  $\lambda_{ij}$ .

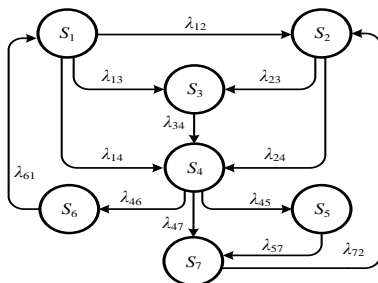


Рис. 1. Граф состояний процесса функционирования моделируемой системы

Пусть формирование МПС происходит постоянно, чтобы скрывать факт передачи КПС, тогда  $s_2$  – начальное состояние моделируемой системы. Это состояние обеспечивает результативность маскирования, интенсивность которого определяется для каждого информационного направления по модели, изложенной в [2], и является искомым с позиций обеспечения результативности [7] маскирования (то есть интенсивность  $\lambda_{23}$  ( $\lambda_{24}$ ) такова, что требования по интенсивности маскирующего обмена выполняются).

Моделируемая СПД может находиться в состояниях  $s_i$  с разной вероятностью  $p_i(t)$ . По размеченному графу состояний рис.1 составлены уравнения Колмогорова – дифференциальные уравнения с неизвестными функциями  $p_i(t)$ :

$$\left. \begin{aligned}
 \frac{dp_1(t)}{dt} &= \lambda_{61} p_6(t) - \lambda_{12} p_1(t) - \lambda_{13} p_1(t) - \lambda_{14} p_1(t), \\
 \frac{dp_2(t)}{dt} &= \lambda_{12} p_1(t) + \lambda_{72} p_7(t) - \lambda_{23} p_2(t) - \lambda_{24} p_2(t), \\
 \frac{dp_3(t)}{dt} &= \lambda_{13} p_1(t) + \lambda_{23} p_2(t) - \lambda_{34} p_3(t), \\
 \frac{dp_4(t)}{dt} &= \lambda_{14} p_1(t) + \lambda_{24} p_2(t) + \lambda_{34} p_3(t) - (\lambda_{45} + \lambda_{46} + \lambda_{47}) p_4(t), \\
 \frac{dp_5(t)}{dt} &= \lambda_{45} p_4(t) - \lambda_{57} p_5(t), \\
 \frac{dp_6(t)}{dt} &= \lambda_{46} p_4(t) - \lambda_{61} p_6(t), \\
 \frac{dp_7(t)}{dt} &= \lambda_{47} p_4(t) + \lambda_{57} p_5(t) - \lambda_{72} p_7(t), \\
 \sum_{i=1}^7 p_i(t) &= 1.
 \end{aligned} \right\} (7)$$

Вектор вероятностей начальных состояний марковской цепи с учетом отсутствия воздействий на СПД в начальный момент времени имеет вид:

$$p(0) = |0 \ 1 \ 0 \ 0 \ 0 \ 0 \ 0| \quad (8)$$

что соответствует формированию МПС.

Задавая численные значения интенсивностей  $\lambda$  в соответствии с условиями функционирования ИС и СПД ВН в ССОП (ситуациями  $SIT$ ) и переходя к непрерывному времени, решается система линейных дифференциальных уравнений (7) с постоянными коэффициентами. [6] Для решения уравнений численным методом очевидным является классический метод четвертого порядка – метод Рунге-Кутты с фиксированным шагом интегрирования. Применение модели заключается в вариации интенсивностей в пределах устойчивости уравнений, при этом контрастны следующие четыре ситуации  $\lambda_{47}$  (см. таблицу 3).

Таблица 2

*Вариация параметров модели в зависимости от условий функционирования СПД*

Признаки	Ситуации			
	$SIT_1$	$SIT_2$	$SIT_3$	$SIT_4$
Наличие КПС	const	–	const	const
Наличие МПС	–	max	max	max
Наличие КПС от других источников	max	const	const	const
Терминация МПС	–	min	min	max

Ситуация  $SIT_1$ . Формирование, передача и прием только КПС. Если МПС не формируются. Тогда поток КПС к приемнику постоянный.  $\lambda_{45} = \lambda_{57}$  интерпретируется как КПС других источников. Ситуация позволяет исследовать СПД без нагрузки источника МПС и найти максимальную скорость передачи. При вариации  $\lambda_{45}$  ( $\lambda_{57}$ ) исследуют обеспечение своевременности при росте трафика от других источников.

Графики зависимостей вероятностей состояний исследуемого процесса для ситуации  $SIT_1$  представлены на рис. 2.

На интервале времени  $[0; 0,09]$  СПД находится в переходном режиме функционирования, где наблюдается всплеск значений вероятности состояний  $p_4(t)$  и  $p_6(t)$  что соответствует нахождению СПД в состоянии передачи, приема КПС и квитиования. При  $t \rightarrow \infty$  в СПД устанавливается стационарный режим, когда СПД случайным образом меняет свои состояния и ее вероятности  $p_1(t), p_2(t), \dots, p_7(t)$ , уже не зависят от времени и равны финальным (предельным) вероятностям.

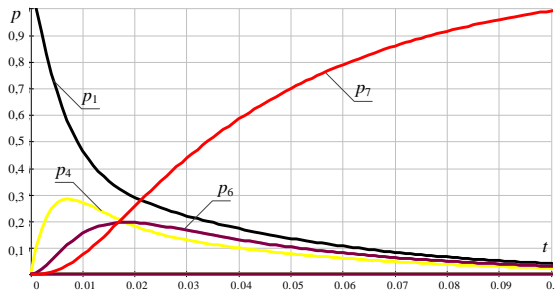


Рис. 2. Результаты расчета зависимости вероятностей состояний от времени для значений интенсивностей событий, соответствующие ситуации  $SIT_1$

Аналогично производят расчеты и для остальных ситуаций. Графики зависимостей вероятностей состояний исследуемого процесса для ситуаций  $SIT_2 - SIT_4$  представлены на рисунках 3 – 5.

Ситуация  $SIT_2$ . Формирование, передача и прием только МПС (без их терминции), конструктивные не передаются.  $\lambda_{23} = \min(\lambda_{23} \text{ и } \lambda_{24} - \text{антагонисты, т.к. или варьируем текущие адреса элемента СПД, или}$

нет).  $\lambda_{57}$  и  $\lambda_{47}$  интерпретируется как КПС заданной (плановой) интенсивности от других источников.  $\lambda_{45} = \max$  (искомое). Ситуация позволяет исследовать СПД без нагрузки источника КПС и найти максимальную скорость передачи (см. интенсивность  $\lambda_{45}$ ) МПС при наличии заданного трафика от других источников. При увеличении  $\lambda_{45}$  находим предел обеспечения своевременности при увеличении скорости передачи МПС.

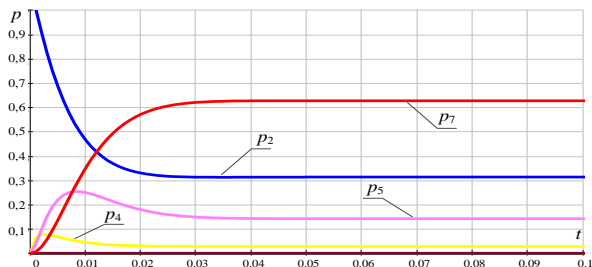


Рис. 3. Результаты расчета зависимости вероятностей состояний от времени для значений интенсивностей событий, соответствующие ситуации  $SIT_2$

Ситуация  $SIT_3$ . Формирование, передача и прием маскирующих и КПС заданной (плановой) интенсивности. Ситуация позволяет исследовать предел обеспечения своевременности при увеличении скорости передачи МПС.

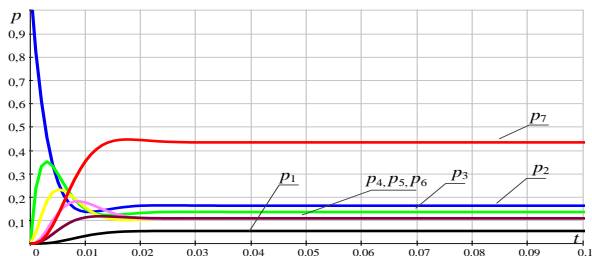


Рис. 4. Результаты расчета зависимости вероятностей состояний от времени для значений интенсивностей событий, соответствующие ситуации  $SIT_3$



Ситуация  $SIT_4$ . Формирование, передача и прием МПС и КПС заданной (плановой) интенсивности. Ситуация позволяет исследовать предел обеспечения своевременности при увеличении скорости передачи МПС с их терминацией, предел сбоев терминации для обеспечения своевременности.

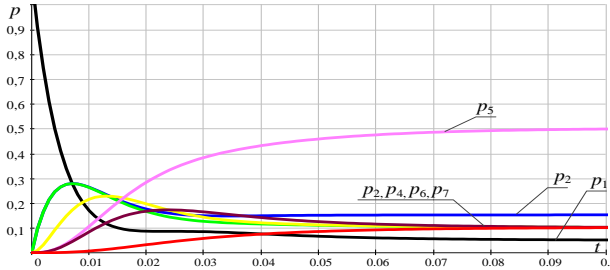


Рис. 5. Результаты расчета зависимости вероятностей состояний от времени для значений интенсивностей событий, соответствующие ситуации  $SIT_4$

Конструктивное использование модели очевидным образом приводит к методике маскирования адресации корреспондентов в СПД ВН, в частности, при реализации ложных информационных систем [8]. Процесс защиты принимающего абонента (СИО) от перегрузки в соответствии с методикой сводится к максимизации  $p_6(t)$  вероятности (и среднего времени) значения показателя своевременности информационного обмена  $p^{K_{uc}}(t) \rightarrow \max$ , что предполагает адаптивное управление ложным трафиком при условии выполнения требований к результативности маскирующего обмена [9].

### Заключение

Представленная математическая модель оценки эффективности маскирующего обмена в СПД ВН учитывает влияние и характер воздействия на СПД информационных потоков от передающего к принимающему абоненту, фоновую нагрузку ИС, отказы системы маскирования, которые способны снизить доступность принимающего абонента и ухудшить значение показателя своевременности информационного обмена в ИС.

## Список литературы

1. Давыдов, А.Е. Защита и безопасность ведомственных интегрированных инфокоммуникационных систем / А. Е. Давыдов, Р. В. Максимов, О. К. Савицкий – Москва: ОАО «Воентелеком», 2015. – 520 с.
2. Соколовский, С.П. Модель защиты информационной системы от сетевой разведки динамическим управлением ее структурно-функциональными характеристиками // Вопросы оборонной техники. Серия 16 противодействие терроризму. – Москва: 2020. № 7-8. – С. 62-73.
3. Максимов, Р. В. Алгоритм и технические решения динамического конфигурирования клиент-серверных вычислительных сетей / Р. В. Максимов, С. П. Соколовский, И. С. Ворончихин // Труды СПИИРАН. – 2020. – Т. 19. – № 5. – С. 1018-1049.
4. Максимов, Р. В. Модель и алгоритм функционирования клиент-серверной информационной системы в условиях сетевой разведки / Р. В. Максимов, Д.Н. Орехов, С.П. Соколовский // Системы управления, связи и безопасности. – СПб.: 2019. – № 4. – С. 50–99.
5. Ворончихин, И. С. Маскирование структуры распределенных информационных систем в киберпространстве / И. С. Ворончихин [и др.] // Вопросы кибербезопасности. – 2019. – № 6 (34). – С. 92–101.
6. Искольный, Б. Б. Оценка живучести распределенных информационно-телекоммуникационных сетей / Б. Б. Искольный, Р. В. Максимов, С. Р. Шарифуллин // Вопросы кибербезопасности. – 2017. – № 5 (24). – С. 72-82.
7. Максимов, Р. В. Особенности детектирования и способы маскирования демаскирующих признаков средств проактивной защиты вычислительных сетей / Р. В. Максимов, С. П. Соколовский, Д. Н. Орехов // Радиолокация, навигация, связь : сб. тр. XXIV Международной научно-технической конференции. (Воронеж, 17-19 апреля 2018 г.). – Воронеж, 2018. – С. 169-179.
8. Способ маскирования структуры сети связи. Пат. 26822105 Рос. Федерация, МПК G06F / Зайцев Д.В., Зуев О.Е., Крупенин А.В., Максимов Р.В., Починок В.В., Шарифуллин С.Р., Шерстобитов Р.С.; заявитель и патентообладатель Краснодарское высшее военное училище (RU). – № 2018112925; заявл. 09.04.2018; опубл. 14.03.2019, Бюл. № 8.
9. Шерстобитов, Р. С. Маскирование интегрированных сетей связи ведомственного назначения / Р.С. Шерстобитов, С.Р. Шарифуллин, Р.В. Максимов // Системы управления, связи и безопасности. – 2018. – № 4. – С. 136–175.